

六甲山岩盤地帯における地下水調査

神戸大学工学部 正会員 田中 茂

1. 緒 言

神戸市当局は岩石中の地中水を利用するための第一歩として同市水道局が中心となって地下水調査委員会を昭和39年初めに発足させ、六甲山の岩石中の地下水の調査と取水工法などの検討を行なってきた。この報告は同委員会が行なった調査結果の一部をとりまとめたものである。委員会は最初、六甲山系を中心とするかなり広範囲を対象として調査を行ない、調査の進行とともに次第にかなりの量の岩石中の地下水の存在を期待しうる地域に調査をしぼった。このようにして裏六甲地区にモデル地区を数カ所選択して地質の専門家にも現地調査を願って詳細に調査の結果、奥山川一有馬地区は大きい断層破碎帯が数本ほど東西に走っているが、これらの破碎帯の山側にかなりの量の地下水源が求められるということになり、また同時に地下水の集水区域は地形的集水区域とは必ずしも一致せず、条件によっては前者は後者の数倍もありうることが結論せられた。つぎに委員会は地上防止コンサルタント中茂樹氏と同氏の提唱している「上昇水脈説」に関する討議を行なうと同時に、六甲山系の代表的水脈幹線を選んで自然湧水地点の調査、地質調査、予想取水量、取水工事の難易などの調査を現地立会いで行なうとともに種々討論を行なった。ついで委員会は中氏が過去において実施したり、当時に実施中であった「斜坑ボーリング工事」の現場視察および調査を行なった。すなわち、伊吹山、神戸市兵庫区永室町、兵庫県三原郡南淡町などの地内で施工せられたものを対象として湧水量、地質、坑の構造などを検討した。昭和39年9月末の委員会において種々討議の結果、六甲山上新池附近を選らび、花崗岩中の地下水の規模、湧水量、上昇水脈の存在の有無などを調査するためには「横坑ボーリング」を行なうこと、並びにこれと併行して、水位測定、水質試験、水圧測定、トレーサー実験などを行なうことと決定した。これにより、神戸市水道局は調査ボーリング工事の契約を中氏と昭和40年11月末に結び工事に着手した。かくして、径180 mm、延長30 m、径152 mm 延長40 m、径127 mm 延長100 m、径101 mm、延長90 m、総延長260 mの横坑が完成したのは昭和40年6月10日である。その間、ほぼ時を同じくして同氏が施工中であった兵庫県津名郡五色町地内の延長170 m、当時湧水量707 t/dayの横坑の現場視察を行なった。委員会は上記の調査用ボーリング工事が完了した後7月から10月にかけて湧水の流路を追跡するためのトレーサー実験、湧水の水圧調査、その他を行なった。

2. 上昇水脈説

中氏によれば造山運動の際に山を形造っている岩石が応力を受けて割れ目、断層を生じ、その著しいものは今日の峡谷生成のもとをなし、峡谷はその岩石が破碎せられた線に沿うものが多いものとしている。上記の割れ目や破碎帯は非常に地中深く貫入していてこれらが地下数キロもの所で横方向に走っている帶水層で互いに連絡しているものと考え、このような関係を図-1に模型的に示している。これらの割れ目が比較的硬くて割れ目の少ない岩石が山の外被をなしているその内側の岩石中に発達していて、しかも割れ目は細粒に破碎されたもので閉塞されていない時に、それらの割れ目が地表に

開口していると、それらを通って下から上に向って地下水が高い高度の所までよく上昇するものと考えた。これに反し造山岩石が深

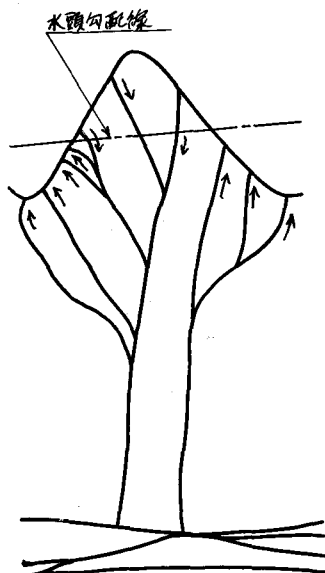


図-1 山の岩石中の割れ目
(中山氏による)

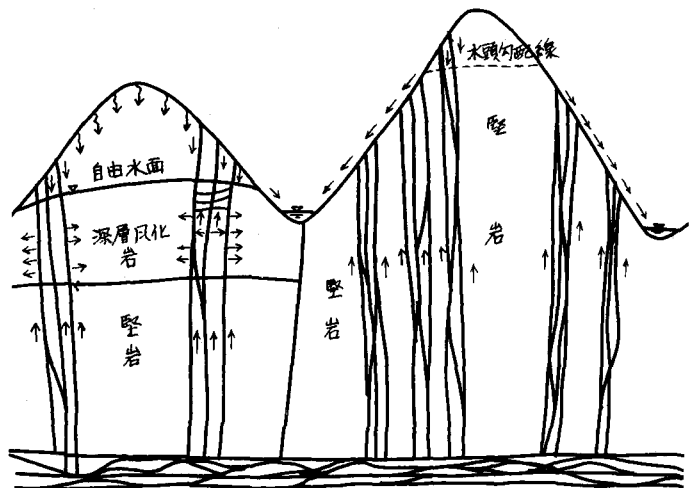


図-2 岩石内の自由水面と水頭勾配線のモデル

層風化を受けて多孔質となり内部の水圧が外に容易にぬける所では地下水の上昇は低い所にとどまるという。いずれにせよこのような地下水の上昇を生ぜしめる原動力に関しては同氏は連通管の原理を用いて説明している。以上の「上昇水脈説」は従来の定説と異なるところが多く今日ではほとんど受け入れられていないようである。夏期または冬期に1カ月以上も降雨をみない乾期をえらんで、まず渓流に沿うて遡り、その地点から上手ではもはや全然流れをみないという流れの最上流端を求め、その地点の湧出量を簡易三角堰などにより計量する。それから渓流に沿うて下り、適当な場所ごとに同様な方法で流量を測定し、測定場所ごとに集水面積を図上で測り、これらの面積の比とくらべて測定流量の比が大きくなっている区間を求める。その区間をさらに細分して上記の方法をくり返して湧出点を求めるのである。このようにして、渓流に沿うて数個の湧出点を求めると、これらが前記上昇水脈の地表面への露頭であり、点ではなくて帯状の線が渓流を横切って走っているものであるという。

このような水脈の露頭は必ずしもはっきりと発見しうるとは限らぬ。岩盤が渓床に露出している場合は発見しやすいが、岩盤上に表土が堆積している上を渓流が流れている場合にはその発見は必ずしも容易ではない。図-1に示した鎖線は水頭勾配線であって、これより高い所に降った雨水は岩の割れ目や空隙などを通って下方へ浸透する。問題はこの図で示した水頭勾配線よりも低い領域の山腹斜面からは至るところでしみ出しが見られる理屈であるが、実際には岩石が緻密で硬くてそれに破碎帶や割れ目が存在していることが多く、それらから相当量の湧水が見られるにすぎず、その他からは水のしみ出しがない。岩石が深層風化を受けていて全体的にみて多孔性となっている所では、低い場所で内部の水圧が外へぬけてしまつて、その時は圧力水頭線の形をとらず、図-2に示すように自由水面のようなものが生じていると筆者は考える。

横坑ボーリング坑による地下水取水の原理について一言するとつきのようである。図-2に示すよ

うに硬岩中に存在している破碎帯または割れ目を通って地下水が地表へ湧出する時には、そのような水脈を通る際に、かなりの水頭損失を生ずるわけである。水脈を数本貫通して水平からの伏角を $18 \sim 35^\circ$ の適当なものを有する横坑を掘ると、横坑内を流れる水の損失水頭が横坑と水脈との交点から水脈を通って上の地表面に湧水が出ていた時にその間で失われたそれに比較して小さいものと考えられるから、横坑を掘らない時の地表面での自然湧出量に比すれば横坑を掘るとそれからの湧水量はかなり大きくなるものと考えられる。後者が前者の幾倍かというその倍率は上記の 2 つの損失水頭の大小によって定まるのである。中氏はこの値は普通 $5 \sim 10$ のことが大いといふ。これは坑の条件、地質条件、自然湧水の条件などによって大きく左右されることはあるが、地下水利用の点から考えるとこの倍率が大きいことが有利なことはいうまでもない。

3. 新池ボーリングによる調査

(1) ボーリング工事の概要

図-3 には神戸市水道局が今回行った新池ボーリング工事に関する平面図と縦断図とを示す。図の第一ないし第三水脈の水を採取しようとする意図である。縦断図でははっきりしないが、岩盤は地表面に露出せず、かなりの厚さの表土でおおわれ、上記水脈の露頭は地上でみとめ難い。

(2) 地質と掘さく速度

調査試験ボーリング工事により求められた地質柱状図を図-4 に示す。図面の縮尺が小さいので岩石の名称、硬岩、軟岩、破碎帯、粘土化層などの区別を示すことを省略してあるのでよくわからないが、硬軟両岩、破碎帯、などが互層をなしている。最初に予想した水脈の位置と実際のそれとはほぼ一致している。図には湧水量、掘進速度、コア採取率などを示してある。粘土化層や水脈の外側の岩からの湧水量は 0 である。

掘さく速度は岩質の硬軟に左右されることは比較的少なく、断層および破碎帯において大きく左右される。口径による掘進能率の変化は径 148 mm までは比例的に大きく減少するが、それ以上の口径ではそれが少なくなる。深度による作業能率の変化は延長 150 m までは距離に比例して低下するが、 150 m 以上になるとその変化は少なくなる。

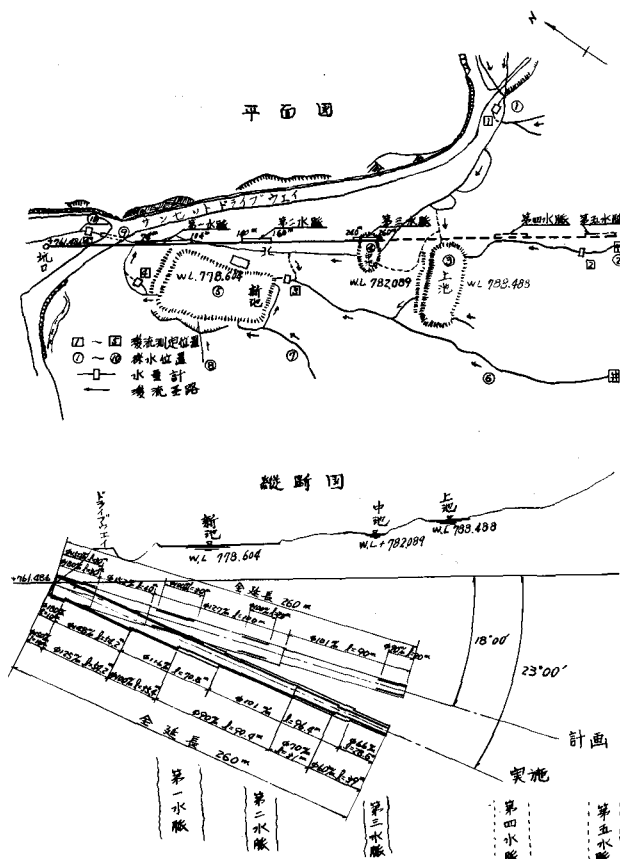
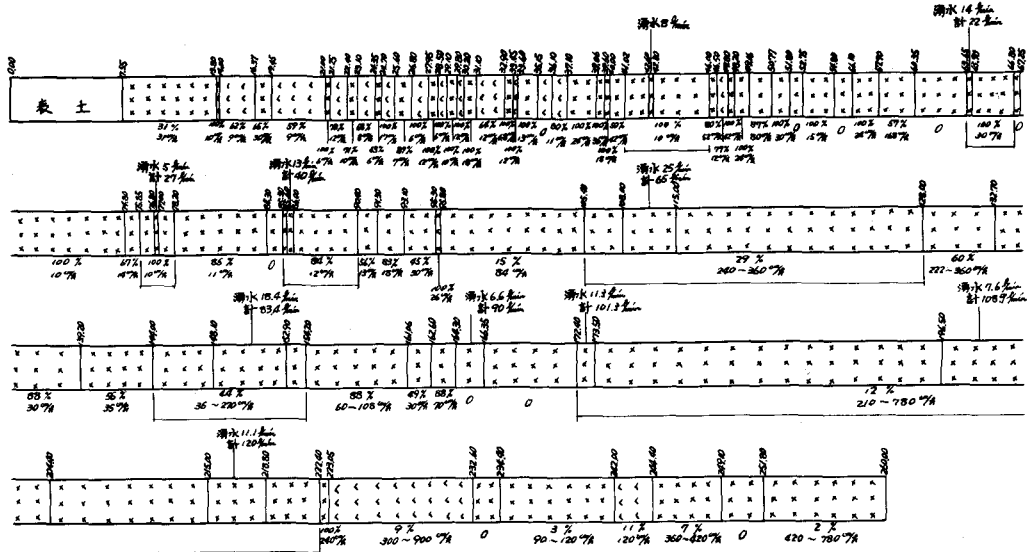


図-3 ボーリング工事概要図



下の数字はコア採取率および進行の度合を示す
(10分速度を時間に直したもの)

図-4 柱状図

(3) 竣工時のボーリング工事

自 昭和39年11月25日
至 田舎40年6月10日

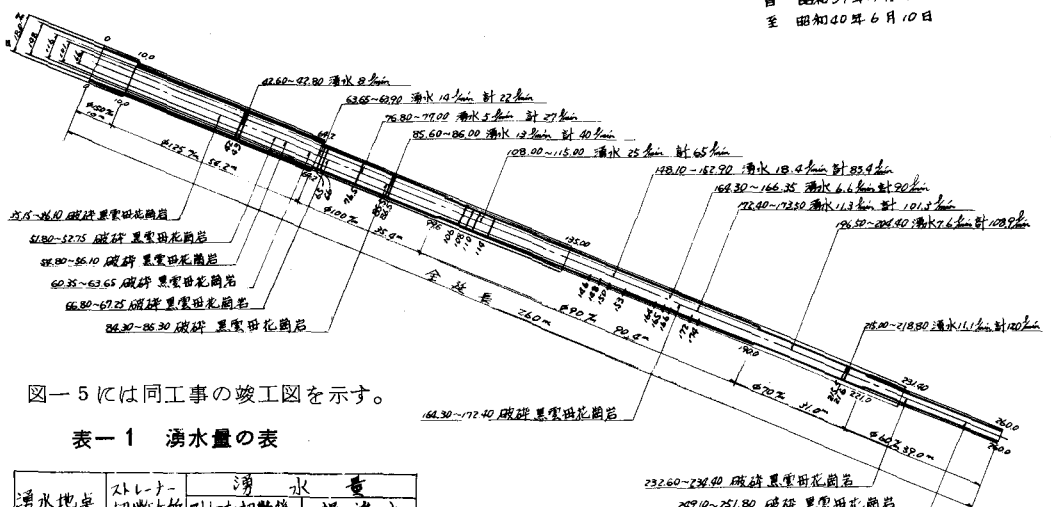


図-5 には同工事の竣工図を示す。

表-1 漏水量の表

漏水地点	ストレーナー 切断力	漏水量	
		切断後	掘進中
ストレーナー 切断前の漏水量		32.4 l/min ± 46.7%	
42.80-42.80	2	0	8.9 l/min ± 11.5%
63.65-63.70	2	0	14.4 l/min ± 29.2%
76.80-77.00	1	0	7.2 l/min
88.60-88.00	2	0	13.7 l/min ± 18.8%
108.00-115.00	4	31.9 l/min ± 45.4%	12.5 l/min ± 36.5%
113.10-122.90	4	6.7 l/min ± 9.6%	18.4 l/min ± 26.3%
124.30-126.35	3	0	6.6 l/min ± 9.5%
127.40-128.50	2	3.1 l/min ± 4.7%	11.3 l/min ± 16.3%
128.50-129.40	0	0	2.6 l/min ± 11.4%
129.10-129.80	2	10.5 l/min ± 14.4%	11.1 l/min ± 16.1%
計	22	83.5 l/min ± 120.62%	173.4 l/min

図-5 竣工図

(4) 漏水量

表-1 にはボーリング坑の坑口から坑に沿うて測った距離で示した漏水地点について、ストレーナー切断力所数、ストレーナー切断後と掘進中とに分けた漏水量を示した。ストレーナー切断後の漏水量が減少した理由は、漏水地点に隣接している粘土、細砂などのためにストレーナーが閉塞せられたこと、ケーシング挿入後にそれが

曲折してストレーナー切断が十分できなかったことであろう。この工事による湧水量に関する結論としてはつぎのようにまとめられる。

- Ⅰ) 断層は粘土化されていて、粘土化されている所からではなくそれに隣接している破碎部分から湧水している。
- Ⅱ) 湧水量は表-1のようく最大 $36\text{t}/\text{d}$ 、最小 $7.2\text{t}/\text{d}$ で、1カ所の破碎帶から幾百 ton の大量の湧水はない。
- Ⅲ) 湧水量は掘さく中に測定した量の 60% 程度にとるのが適当と思われる。
- Ⅳ) 湧水量は最初の予想に反して意外に少なかった。この理由は地質柱状図で明らかなように、この坑の所の地質は粘土化、細粒化、細砂化したものが破碎帶につまっているが故に、破碎帶内の透水性がよくなく従って湧水量が少ない。また坑を掘ってもその周囲の砂粒や粘土が坑を閉塞する傾向が多分にあることもその理由として考えられる。さらに予備調査で新池付近の地表一帯が表土でおおわれていたので、自然湧水量を正しく把握し得なかったこともまた理由のひとつであろう。

4. 溪流量の調査

昭和 40 年 2 月 15 日から同年 10 月 27 日までの間、溪流量の測定を三角堰に取付けた簡易自記水位計により越流水頭をおさえることにより行なった。測定位置は図-3 に示す通りである。強雨による流量の大きい時は特に No. 5 などでは堰の能力を上回る流量となり、計量不可能であったことは残念である。No. 5 地点の流量は昭和 40 年 3 月 9 日～15 日に最小となり、 $128\text{t}/\text{d}$ であった。この流量は降雨の影響をほとんど受けおらず、地下水の湧水量とみなしても支障はない。同年 8 月のそれはこの量に比すれば約 3 倍もあった。前記最小流量には今回掘さくした横坑が関係すると考えられる三水脈からの自然湧水量も勿論含まれていると考えられる。流量表は紙面の都合で省略する。

5. 表流水と湧水の水質

水質は水の由来に大きな関係を有するものである。従って、溪流水は 10 地点、湧水はボーリング坑口から 87.7m, 162m の両地点をえらんで採水したものの分析表を表-2 にかけげる。これに関する考察は紙面の都合で省く。

6. 坑口の湧水の静水圧

坑の掘さくが終了し、さらにケーシング挿入およびストレーナー切断などを完了した後において、坑口のケーシングに蓋をして、それに透明ビニールの可撓性チューブをつなぎ、それを高く設置し、そのなかの水頭を読むいわゆる manometer 直読式と、蓋に自記圧力計をとりつけて静水圧を自記

表-2 水質分析表

検査項目	表流水採取地点										湧水採取地点	
	1	2	3	4	5	6	7	8	9	10	40.2.13 88.7m地点	40.5.10 162m地点
P, H	6.3	5.9	6.3	6.3	6.3	6.0	6.1	6.2	6.4	6.5	10.3	8.3
HCO ₃ ⁻	5.2	1.61	3.5	5.0	3.34	1.39	2.5	3.32	5.63	4.65		
Cl ⁻	6.7	5.0	6.5	6.7	6.1	5.1	5.8	4.7	6.5	5.6	5.1	6.2
Ca ²⁺	3.9	1.1	2.8	3.8	3.1	1.8	2.2	1.8	3.2	3.2	27.7	14.7
SO ₄ ²⁻	5.5	5.5	5.5	5.5	6.0	5.5	15.5	5.5	5.5	5.5	5.0	4.5
SiO ₂	14.0	14.0	12.0	12.0	11.0	19.0	15.0	13.0	11.0	14.0	20.0	16.0
Fe	0.3	0.04	0.16	0.29	0.4	0.02	0.08	0.4	0.06	0.08	0.08	0.09
O ₂ , P, P _m	10.37	9.73	10.86	10.33	11.06	10.57	10.24	11.03	10.61	10.97	4.94	2.93
Na ⁺	5.35	3.47	4.51	5.08	4.34	3.65	4.6	4.14	4.83	3.70	8.23	27.7

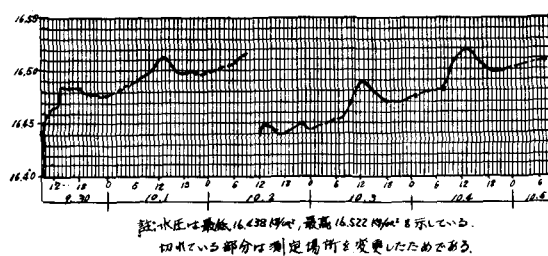


図-6 坑口の湧水の静水圧

させる法と併用した。前者の方法で昭和40

年9月30日から10月5日までの間に1時間ごとに測定を行なった結果を図-6に示す。ある周期性で変動しているようである。後者の方法で同年10月7日から同30日まで測定を行なったが、水圧の大きな変動はなく最高で 1.67kg/cm^2 、最低で 1.5kg/cm^2 であった。

7. 湧水のトレーサー実験

上昇水脈が果して存在しているか否かを確かめることはこのような場合に極めて大切なことである。従って、7月13日から10月29日にかけて3回に亘り磷酸アンモニウム水溶液を坑内へ注入して坑口を閉じて、その溶液が坑の上方の地表流にどのようにあらわれるかの実験を行なった。第1回実験は液注入時の圧力、湧水の静水圧が計器故障のため

把握し得ず、従って途中で実験を中止した。第2回実験は7月27日～8月16日に亘って行なった。この時はストレーナーは215.5m、216mの2カ所に切ってあり、湧水量は 61.3t/d 、磷酸アンモニウム粉末約10kgを約250lの水に溶かして $6\sim8\text{kg/cm}^2$ の圧力をかけて閉塞した孔口から貰入してある中空のロッドを通して約30分で注入して閉じた。注入後は4カ所から定時に採水して磷酸の濃度(p.p.m)の測定を行なった。No.2地点で投入後8日目に1桁濃度の高いものが早朝に衝測され始めたので、さらに30分間隔、10分間隔で午前中の採水を行ない分析をしたが、短時間にあらわれるにすぎなかった。8月16日にいたり、各

採水地点いずれもかなりの濃度が検出された。さらに1週間ばかり引続いて観測を行なえば興味ある結果を得られたことと思う。実験終了後、坑内磷酸アンモニウムの濃度測定を行なった。第3回実験は10月5日～29日にかけて行なった。この時は図に示すように多くのストレーナーを切つてあった。注入圧力は $3\sim6\text{kg/cm}^2$ であった。磷酸アンモンの濃度分析結果は表-4に示す通りであり、この時は6日目にいっせいに短時間にかなりの濃度のものがみられた。

これらの結果からみて、疑問点はあるかトレーサーが上昇したこととは確かである。

表-3 分析表

採水地點	(p.p.m)			No.4(道路下)
	No.1(260°附近)	No.2(新地上)	No.3(新地下溝)	
原水	0.014	0.01	0.014	0.008
7.27	7 12 17 22	7 12 17 22	7 12 17 22	7 12 17 22
28	0.01 0.01 0.01 0.01	0.01 0.01 0.01 0.01	0.01 0.01 0.01 0.01	0.01 0.01 0.01 0.01
29	0.01 0.01 0.01 0.01	0.01 0.01 0.01 0.01	0.01 0.01 0.01 0.01	0.01 0.01 0.01 0.01
30	0.01 0.01 0.01 0.01	0.01 0.01 0.01 0.01	0.01 0.01 0.01 0.01	0.01 0.01 0.01 0.01
31	0.01 0.01 0.01 0.01	0.01 0.01 0.01 0.01	0.01 0.01 0.01 0.01	0.01 0.01 0.01 0.01
8.1	0.01 0.01 0.01 0.01	0.01 0.01 0.01 0.01	0.01 0.01 0.01 0.01	0.01 0.01 0.01 0.01
2	0.01 0.01 0.01 0.01	0.01 0.01 0.01 0.01	0.01 0.01 0.01 0.01	0.01 0.01 0.01 0.01
3	0.01 0.01 0.01 0.01	0.01 0.01 0.01 0.01	0.01 0.01 0.01 0.01	0.01 0.01 0.01 0.01
4	0.01 0.01 0.01 0.01	0.01 0.01 0.01 0.01	0.01 0.01 0.01 0.01	0.01 0.01 0.01 0.01
5	0.015 0.015 0.012 0.015	0.015 0.012 0.012 0.015	0.015 0.012 0.012 0.015	0.015 0.012 0.012 0.015
6	0.012 0.012 0.01 0.01	0.012 0.012 0.01 0.01	0.012 0.012 0.01 0.01	0.012 0.012 0.01 0.01
7	0.01 0.015 0.015 0.01	0.01 0.012 0.012 0.01	0.01 0.012 0.012 0.01	0.01 0.015 0.015 0.01
8	0.015 0.01 0.01 0.015	0.015 0.01 0.01 0.015	0.015 0.01 0.01 0.015	0.015 0.01 0.01 0.015
9	0.005 0.007 0.012 0.007	0.005 0.007 0.007 0.005	0.005 0.007 0.007 0.005	0.005 0.007 0.007 0.005
10	0.007 0.007 0.007 0.007	0.007 0.007 0.007 0.007	0.007 0.007 0.007 0.007	0.007 0.007 0.007 0.007
11	0.007 0.007 0.007 0.007	0.007 0.007 0.007 0.007	0.007 0.007 0.007 0.007	0.007 0.007 0.007 0.007
12	0.01 0.01 0.01 0.01	0.01 0.01 0.01 0.01	0.01 0.01 0.01 0.01	0.01 0.01 0.01 0.01
13	0.007 0.007 0.007 0.007	0.007 0.007 0.007 0.007	0.007 0.007 0.007 0.007	0.007 0.007 0.007 0.007
14	0.007 0.012 0.015 0.015	0.007 0.012 0.015 0.015	0.007 0.012 0.015 0.015	0.007 0.012 0.015 0.015
15	0.007 0.012 0.015 0.015	0.007 0.012 0.015 0.015	0.007 0.012 0.015 0.015	0.007 0.012 0.015 0.015
16	0.015 1.2 0.25 0.28	0.017 0.017 0.026 0.023	0.017 0.017 0.026 0.023	0.017 0.015 0.25 0.28

表-4 分析表 (p.p.m)

採水地點	No.1(260°附近)	No.2(新地上)	No.3(新地下溝)	No.4(道路下)
原水	0	0	0	0
7.10	10 13 16 19 22	7 10 13 16 19 22	7 10 13 16 19 22	7 10 13 16 19 22
8.10	0 0 0 0 0 0	0 0 0 0 0 0	0 0 0 0 0 0	0 0 0 0 0 0
11	0	0	0	0
12	0	0	0	0
13	0	0	0	0
14	0	0	0	0
15	0	0	0	0
16	0	0	0	0
17	0	0	0	0
18	0.5 0.3 0.3 0.3 0.3	1.8 0.7 0.7 0.7 0.7	1.8 0.6 0.6 0.6 0.6	1.3 0.9 0.9 0.9 0.9
19	0.07	0.06 0.07 0.06 0.06 0.06	0.07 0.06 0.06 0.06 0.06	0.07 0.07 0.07 0.07 0.07
20	0.01 0.01 0.01 0.01 0.01	0.01 0.01 0.01 0.01 0.01	0.01 0.01 0.01 0.01 0.01	0.01 0.01 0.01 0.01 0.01
21	0 0.01 0.01 0 0.01	0 0.01 0.01 0 0.01	0 0.01 0.01 0 0.01	0 0.01 0.01 0 0.01
22	0.01 0.01 0.01 0.01 0.01	0.01 0.01 0.01 0.01 0.01	0.01 0.01 0.01 0.01 0.01	0.01 0.01 0.01 0.01 0.01
23	0.01 0.01 0.01 0.01 0.01	0.01 0.01 0.01 0.01 0.01	0.01 0.01 0.01 0.01 0.01	0.01 0.01 0.01 0.01 0.01
24	0.01 0.01 0.01 0.01 0.01	0.01 0.01 0.01 0.01 0.01	0.01 0.01 0.01 0.01 0.01	0.01 0.01 0.01 0.01 0.01
25	0.01 0.01 0.01 0.01 0.01	0.01 0.01 0.01 0.01 0.01	0.01 0.01 0.01 0.01 0.01	0.01 0.01 0.01 0.01 0.01
26	0	0	0	0
27	0	0	0	0
28	0	0	0	0
29	0	0	0	0